

Fig. B/1 Erste Brillouin-Zone des einfach monoklinen Gitters für $a > b$ und $|\cos\gamma| < b/(2a) < 1/2$ mit den Symmetriepunkten und Symmetrielinien

$\vec{k} = u \cdot \vec{b}_1 + v \cdot \vec{b}_2 + w \cdot \vec{b}_3 : (u, v, w)$	$P(\vec{k})$	
$\Gamma : (0, 0, 0)$	2/m	
$Y : (1/2, 0, 0)$	2/m	
$B : (0, 1/2, 0)$	2/m	
$Z : (0, 0, 1/2)$	2/m	
$A : (1/2, 1/2, 0)$	2/m	
$C : (1/2, 0, 1/2)$	2/m	
$D : (0, 1/2, 1/2)$	2/m	
$E : (1/2, 1/2, 1/2)$	2/m	
$\Lambda : (0, 0, w)$	$0 < w < 1/2$	2
$W : (1/2, 0, w)$	$0 < w < 1/2$	2
$V : (0, 1/2, w)$	$0 < w < 1/2$	2
$U : (1/2, 1/2, w)$	$0 < w < 1/2$	2

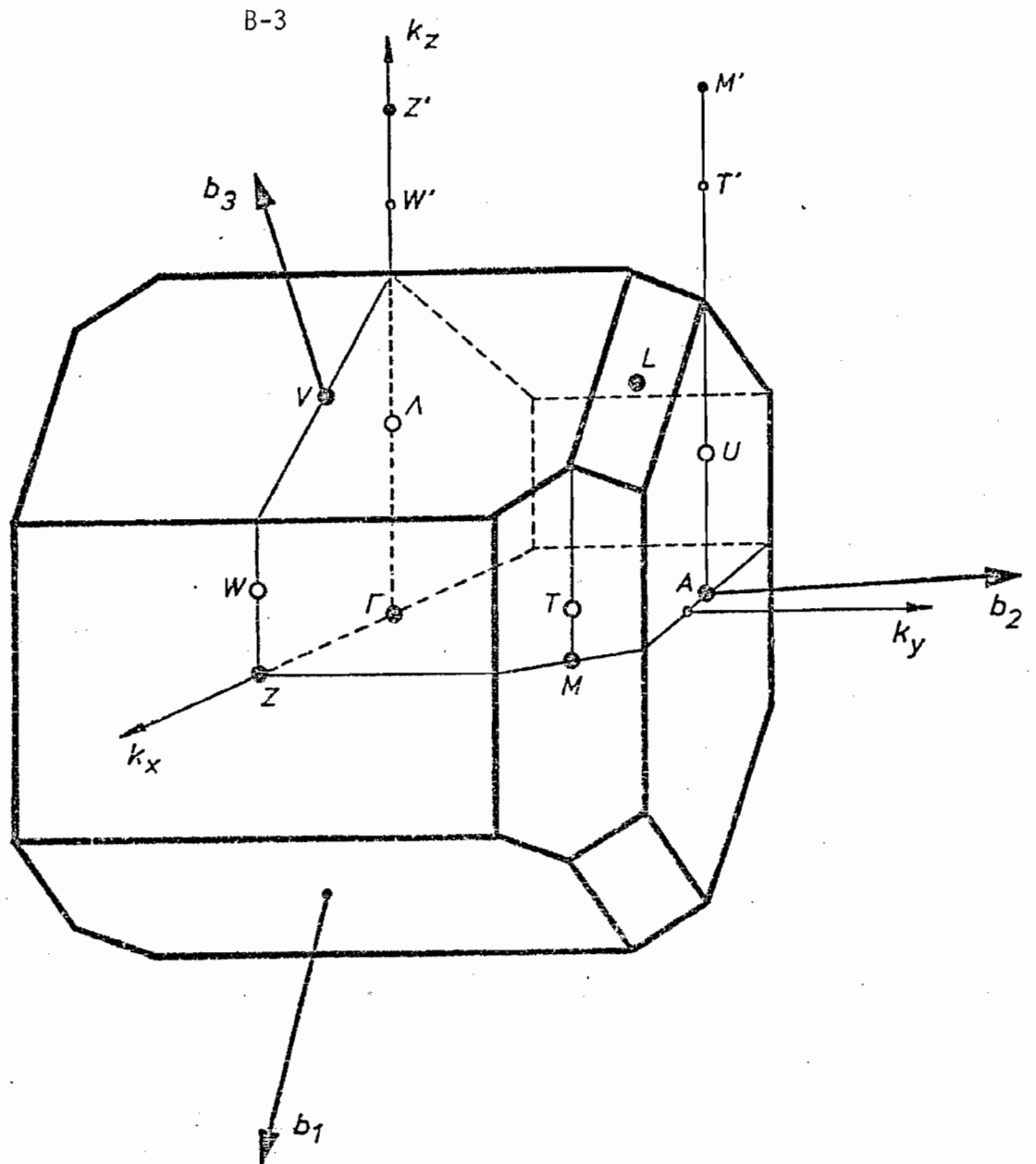


Fig. B/2a Erste Brillouin-Zone des basiszentrierten monoklinen Gitters für $a \cdot \sin \gamma > c$ (immer: $|a \cdot \cos \gamma| \leq b$, $|b \cdot \cos \gamma| \leq a/2$), $\cos \gamma > 0$ mit den Symmetriepunkten und Symmetrielinien

$\vec{k} = u \cdot \vec{e}_1 + v \cdot \vec{e}_2 + w \cdot \vec{e}_3 : (u, v, w)$	$P(\vec{k})$
$\Gamma : (0, 0, 0)$	$2/m$
$Z : (1/2, 0, 1/2)$ $Z' : (-1/2, 0, 1/2)$	$2/m$
$A : (0, 1/2, 0)$	$2/m$
$M : (1/2, 1/2, 1/2)$ $M' : (-1/2, 1/2, 1/2)$	$2/m$
$L : (0, 1/2, 1/2)$	$\bar{1}$
$V : (0, 0, 1/2)$	$\bar{1}$
$\Lambda : (-w, 0, w)$ $0 < w \leq \xi$	2
$W : (1/2 - w, 0, 1/2 + w)$ $0 < w \leq 1/2 - \xi$	2
$U : (-w, 1/2, w)$ $0 < w \leq \zeta$	2
$T : (1/2 - w, 1/2, 1/2 + w)$ $0 < w \leq 1/2 - \zeta$	2

wobei $\xi = (a^2 \sin^2 \gamma + c^2) / (4a^2 \sin^2 \gamma)$, $\zeta = (a^2 \sin^2 \gamma + c^2 \{1 - a \cdot \cos \gamma / b\}) / (4a^2 \sin^2 \gamma)$

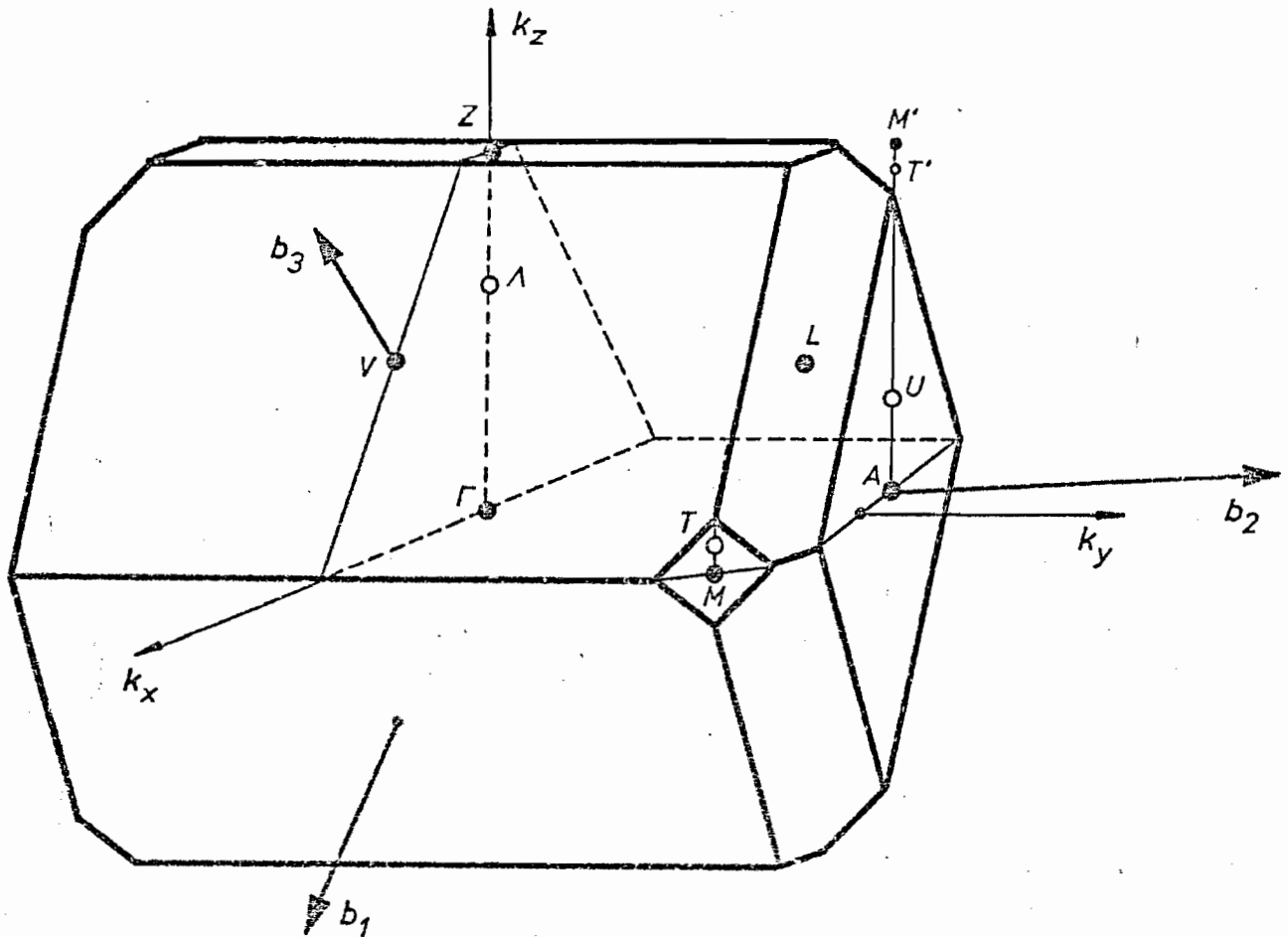


Fig. B/2b Erste Brillouin-Zone des basiszentrierten monoklinen Gitters für $a \cdot \sin \gamma < c$ und $c^2 a \cdot \cos \gamma / b > c^2 - a^2 \sin^2 \gamma$ ($\cos \gamma > 0$) mit den Symmetriepunkten und Symmetrielinien

$\vec{k} = u \cdot \vec{b}_1 + v \cdot \vec{b}_2 + w \cdot \vec{b}_3 : (u, v, w)$	$P(\vec{k})$
$\Gamma : (0, 0, 0)$	2/m
$Z : (-1/2, 0, 1/2)$	2/m
$A : (0, 1/2, 0)$	2/m
$M : (1/2, 1/2, 1/2) \quad M' : (-1/2, 1/2, 1/2)$	2/m
$L : (0, 1/2, 1/2)$	$\bar{1}$
$V : (0, 0, 1/2)$	$\bar{1}$
$\Lambda : (-w, 0, w) \quad 0 < w < 1/2$	2
$U : (-w, 1/2, w) \quad 0 < w \leq \zeta$	2
$T : (1/2-w, 1/2, 1/2+w) \quad 0 < w \leq 1/2-\zeta$	2

wobei $\zeta = (a^2 \sin^2 \gamma + c^2 \{1 - a \cdot \cos \gamma / b\}) / (4a^2 \sin^2 \gamma)$

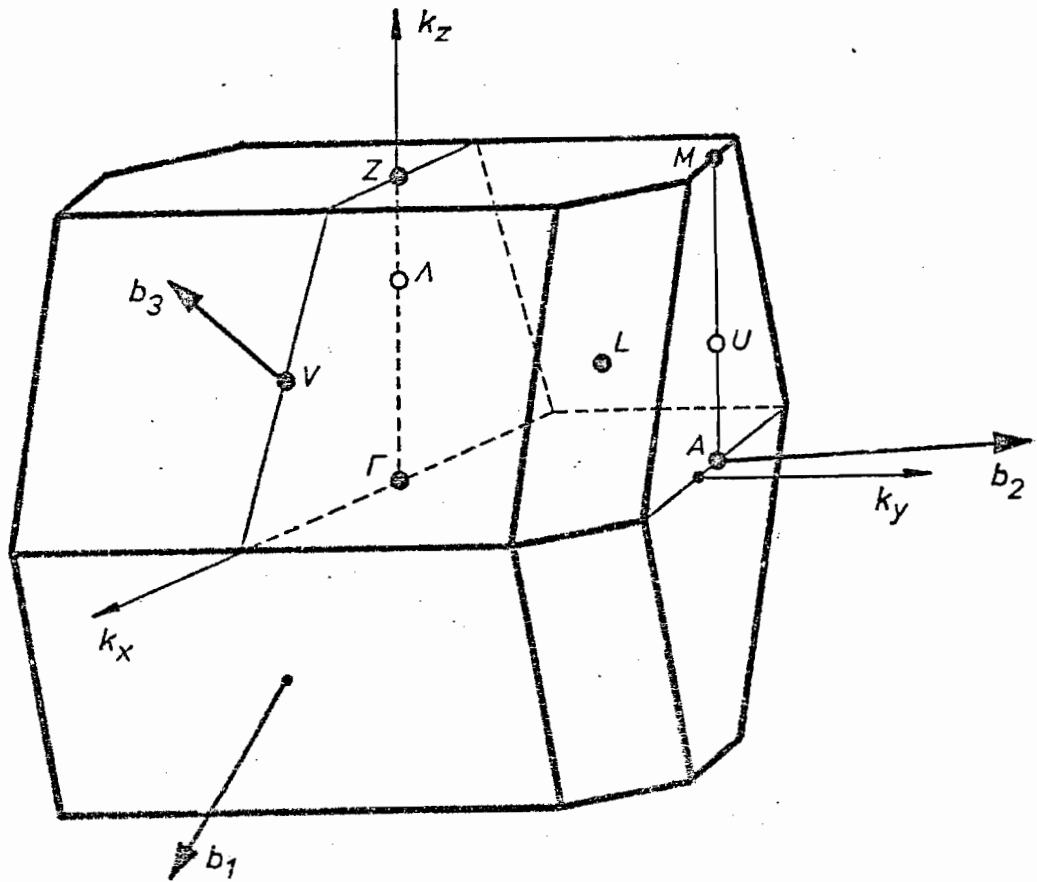


Fig. B/2c Erste Brillouin-Zone des basiszentrierten monoklinen Gitters für $a \cdot \sin \gamma < c$ und $c^2 a \cdot \cos \gamma / b < c^2 - a^2 \sin^2 \gamma$ ($\cos \gamma > 0$) mit den Symmetriepunkten und Symmetrielinien

$\vec{k} = u \cdot \vec{b}_1 + v \cdot \vec{b}_2 + w \cdot \vec{b}_3 : (u, v, w)$	$P(\vec{k})$
$\Gamma : (0, 0, 0)$	$2/m$
$Z : (-1/2, 0, 1/2)$	$2/m$
$A : (0, 1/2, 0)$	$2/m$
$M : (-1/2, 1/2, 1/2)$	$2/m$
$L : (0, 1/2, 1/2)$	$\bar{1}$
$V : (0, 0, 1/2)$	$\bar{1}$
$\Lambda : (-w, 0, w) \quad 0 < w < 1/2$	2
$U : (-w, 1/2, w) \quad 0 < w < 1/2$	2

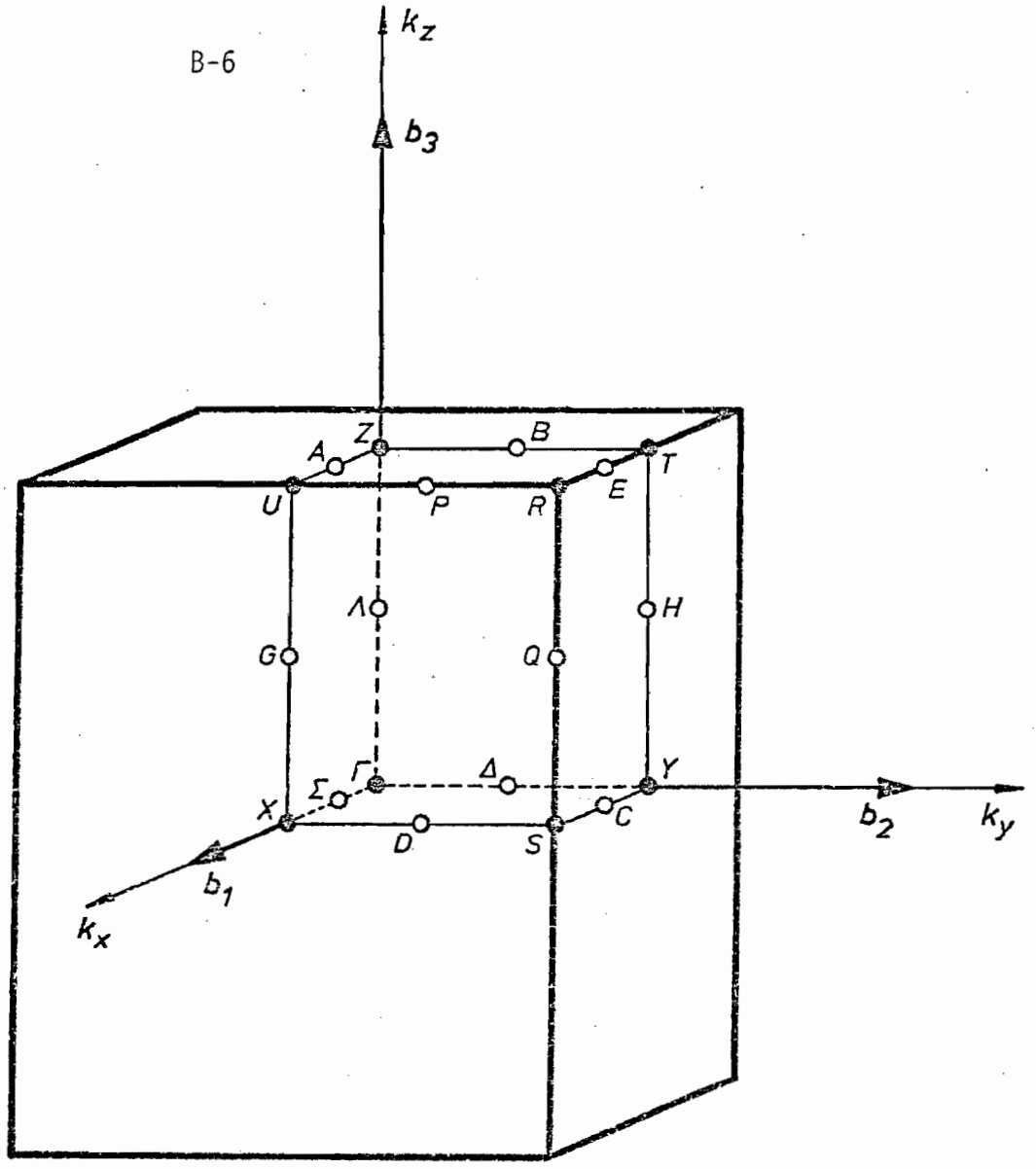


Fig. B/3 Erste Brillouin-Zone des einfach orthorhombischen Gitters mit den Symmetriepunkten und Symmetrielinien

$\vec{k} = u \cdot \vec{b}_1 + v \cdot \vec{b}_2 + w \cdot \vec{b}_3 : (u, v, w)$	$P(\vec{k})$	
$\Gamma : (0, 0, 0)$	mmm	
$X : (1/2, 0, 0)$	mmm	
$Y : (0, 1/2, 0)$	mmm	
$Z : (0, 0, 1/2)$	mmm	
$T : (0, 1/2, 1/2)$	mmm	
$U : (1/2, 0, 1/2)$	mmm	
$S : (1/2, 1/2, 0)$	mmm	
$R : (1/2, 1/2, 1/2)$	mmm	
$\Lambda : (0, 0, w)$	$0 < w < 1/2$	mm2
$H : (0, 1/2, w)$	$0 < w < 1/2$	mm2
$G : (1/2, 0, w)$	$0 < w < 1/2$	mm2
$Q : (1/2, 1/2, w)$	$0 < w < 1/2$	mm2
$\Delta : (0, v, 0)$	$0 < v < 1/2$	mm2
$B : (0, v, 1/2)$	$0 < v < 1/2$	mm2
$D : (1/2, v, 0)$	$0 < v < 1/2$	mm2
$P : (1/2, v, 1/2)$	$0 < v < 1/2$	mm2
$\Sigma : (u, 0, 0)$	$0 < u < 1/2$	mm2
$A : (u, 0, 1/2)$	$0 < u < 1/2$	mm2
$C : (u, 1/2, 0)$	$0 < u < 1/2$	mm2
$E : (u, 1/2, 1/2)$	$0 < u < 1/2$	mm2

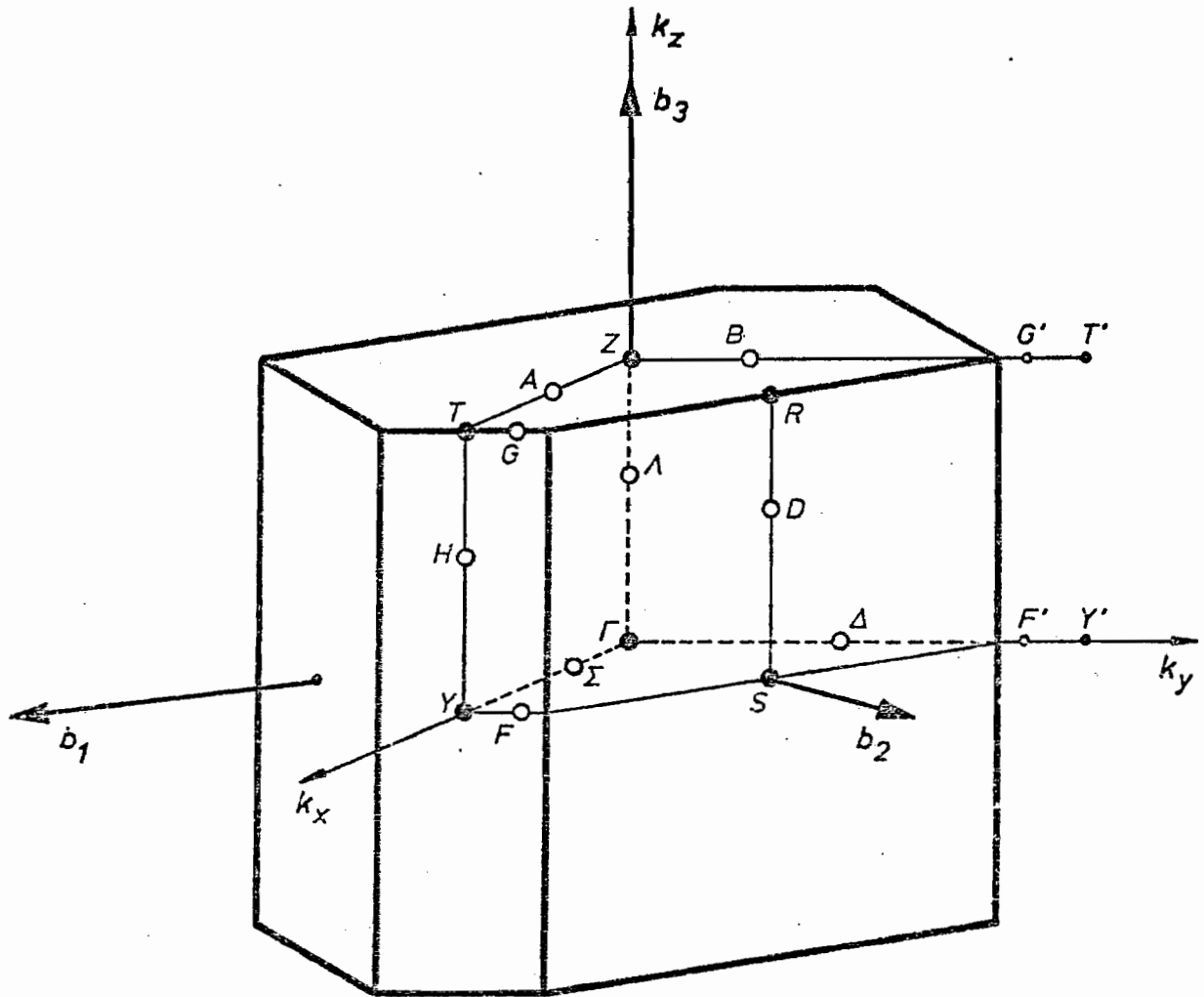


Fig. B/4 Erste Brillouin-Zone des basiszentrierten orthorhombischen Gitters für $a > b$ mit den Symmetriepunkten und Symmetrielinien

$\vec{k} = u \cdot \vec{b}_1 + v \cdot \vec{b}_2 + w \cdot \vec{b}_3 : (u, v, w)$	$P(\vec{k})$
$\Gamma : (0, 0, 0)$	mmm
$Y : (1/2, 1/2, 0) \quad Y' : (-1/2, 1/2, 0)$	mmm
$Z : (0, 0, 1/2)$	mmm
$T : (1/2, 1/2, 1/2) \quad T' : (-1/2, 1/2, 1/2)$	mmm
$S : (0, 1/2, 0)$	$2/m$
$R : (0, 1/2, 1/2)$	$2/m$
$\Lambda : (0, 0, w) \quad 0 < w < 1/2$	$mm2$
$H : (1/2, 1/2, w) \quad 0 < w < 1/2$	$mm2$
$\Sigma : (u, u, 0) \quad 0 < u < 1/2$	$mm2$
$A : (u, u, 1/2) \quad 0 < u < 1/2$	$mm2$
$\Delta : (-v, v, 0) \quad 0 < v \leq \xi$	$mm2$
$B : (-v, v, 1/2) \quad 0 < v \leq \xi$	$mm2$
$F : (1/2 - v, 1/2 + v, 0) \quad 0 < v \leq 1/2 - \xi$	$mm2$
$G : (1/2 - v, 1/2 + v, 1/2) \quad 0 < v \leq 1/2 - \xi$	$mm2$
$D : (0, 1/2, w) \quad 0 < w < 1/2$	2

wobei $\xi = (a^2 + b^2) / (4a^2)$

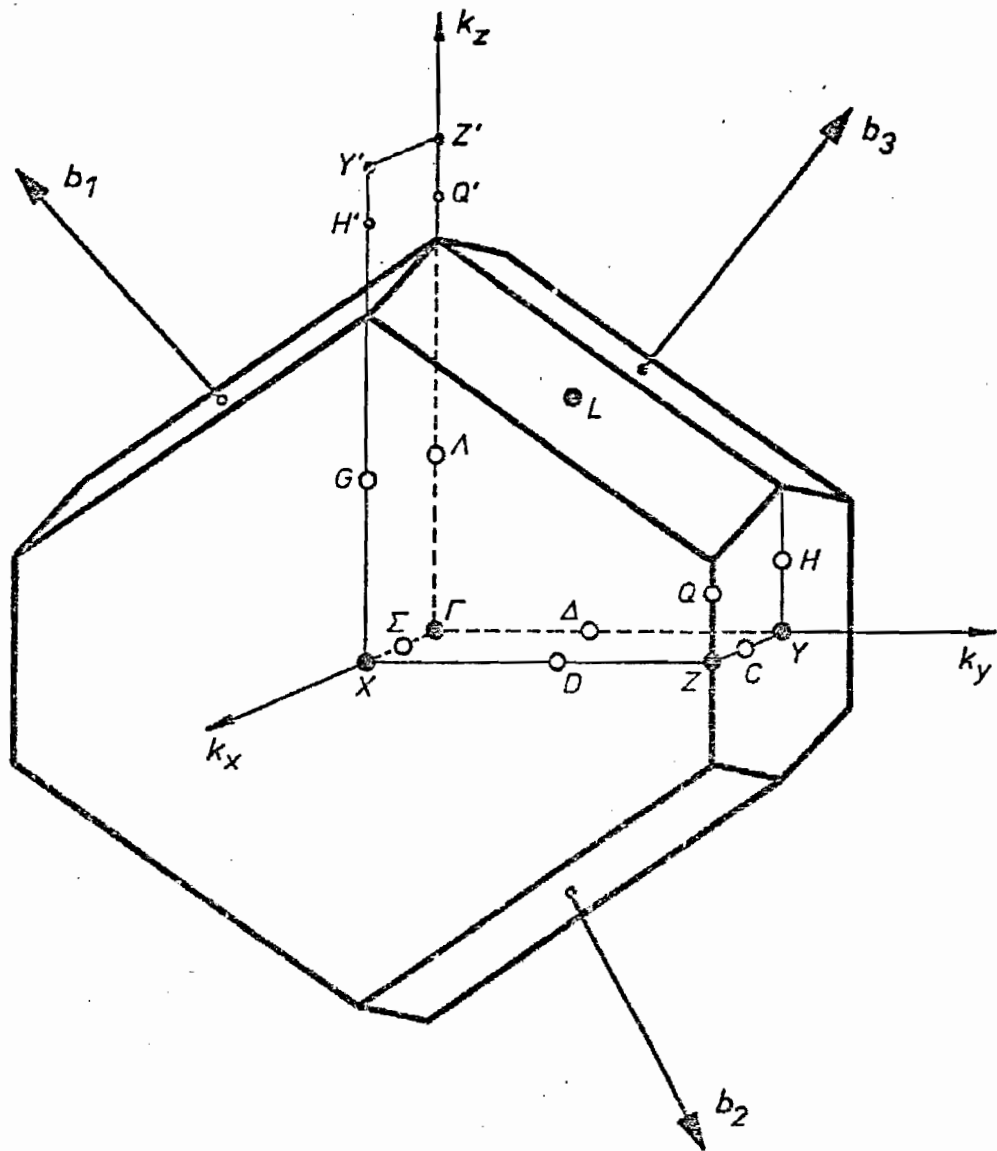


Fig. B/5a Erste Brillouin-Zone des flächenzentrierten orthorhombischen Gitters für $1/c^2 > (1/a^2 + 1/b^2)$ und $a > b > c$ mit den Symmetriepunkten und Symmetrielinien

$\vec{k} = u \cdot \vec{b}_1 + v \cdot \vec{b}_2 + w \cdot \vec{b}_3 : (u, v, w)$	$P(\vec{k})$
$\Gamma : (0, 0, 0)$	mmm
$X : (1/2, 1/2, 0)$	mmm
$Y : (0, 1/2, 1/2)$ $Y' : (1, 1/2, 1/2)$	mmm
$Z : (1/2, 1, 1/2)$ $Z' : (1/2, 0, 1/2)$	mmm
$L : (1/2, 1/2, 1/2)$	$\bar{1}$
$\Lambda : (w, 0, w)$ $0 < w \leq \xi$	mm2
$Q : (1/2+w, 1, 1/2+w)$ $0 < w \leq 1/2-\xi$	mm2
$G : (1/2+w, 1/2, w)$ $0 < w \leq \zeta$	mm2
$H : (w, 1/2, 1/2+w)$ $0 < w \leq 1/2-\zeta$	mm2
$\Sigma : (u, u, 0)$ $0 < u < 1/2$	mm2
$C : (u, 1/2+u, 1/2)$ $0 < u < 1/2$	mm2
$\Delta : (0, v, v)$ $0 < v < 1/2$	mm2
$D : (1/2, 1/2+v, v)$ $0 < v < 1/2$	mm2

wobei $\xi = (1+c^2\{1/b^2 + 1/a^2\})/4$, $\zeta = (1+c^2\{1/b^2 - 1/a^2\})/4$

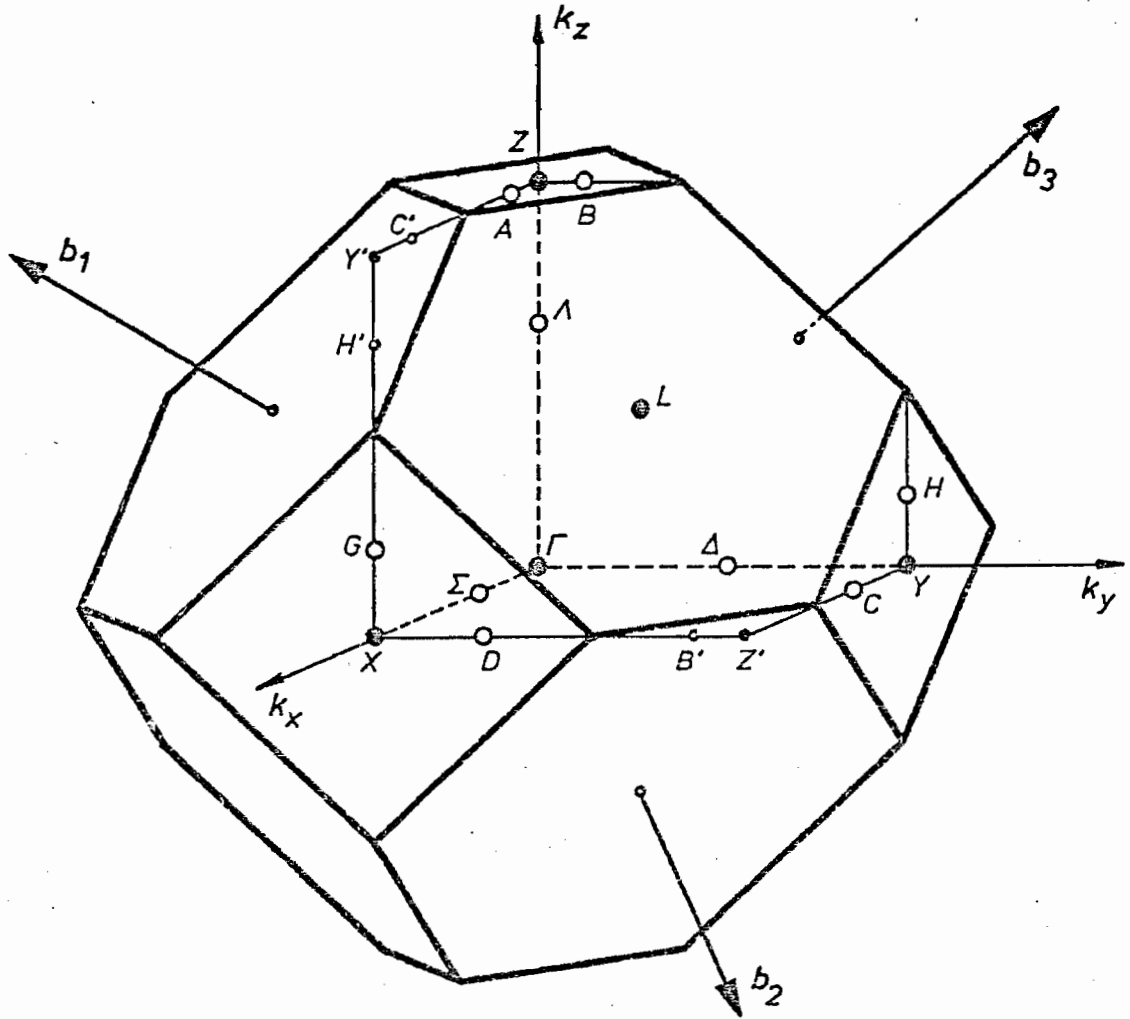


Fig. B/5b Erste Brillouin-Zone des flächenzentrierten orthorhombischen Gitters für $1/c^2 < (1/b^2 + 1/a^2)$ und $a > b > c$ mit den Symmetriepunkten und Symmetrielinien

$\vec{k} = u \cdot \vec{b}_1 + v \cdot \vec{b}_2 + w \cdot \vec{b}_3 : (u, v, w)$	$P(\vec{k})$	
$\Gamma : (0, 0, 0)$	$mmm\bar{1}$	
$X : (1/2, 1/2, 0)$	mmm	
$Y : (0, 1/2, 1/2)$	mmm	
$Z : (1/2, 0, 1/2)$	mmm	
$L : (1/2, 1/2, 1/2)$	$\bar{1}$	
$\Lambda : (w, 0, w)$	$0 < w < 1/2$	$mm2$
$G : (1/2+w, 1/2, w)$	$0 < w \leq \zeta$	$mm2$
$H : (w, 1/2, 1/2+w)$	$0 < w \leq 1/2-\zeta$	$mm2$
$\Sigma : (u, u, 0)$	$0 < u < 1/2$	$mm2$
$C : (u, 1/2+u, 1/2)$	$0 < u \leq \eta$	$mm2$
$A : (1/2+u, u, 1/2)$	$0 < u \leq 1/2-\eta$	$mm2$
$\Delta : (0, v, v)$	$0 < v < 1/2$	$mm2$
$D : (1/2, 1/2+v, v)$	$0 < v \leq \kappa$	$mm2$
$B : (1/2, v, 1/2+v)$	$0 < v \leq 1/2-\kappa$	$mm2$

wobei $\zeta = (1+c^2\{1/b^2-1/a^2\})/4$, $\eta = (1+a^2\{1/c^2-1/b^2\})/4$, $\kappa = (1+b^2\{(1/c^2-1/a^2)\})/4$

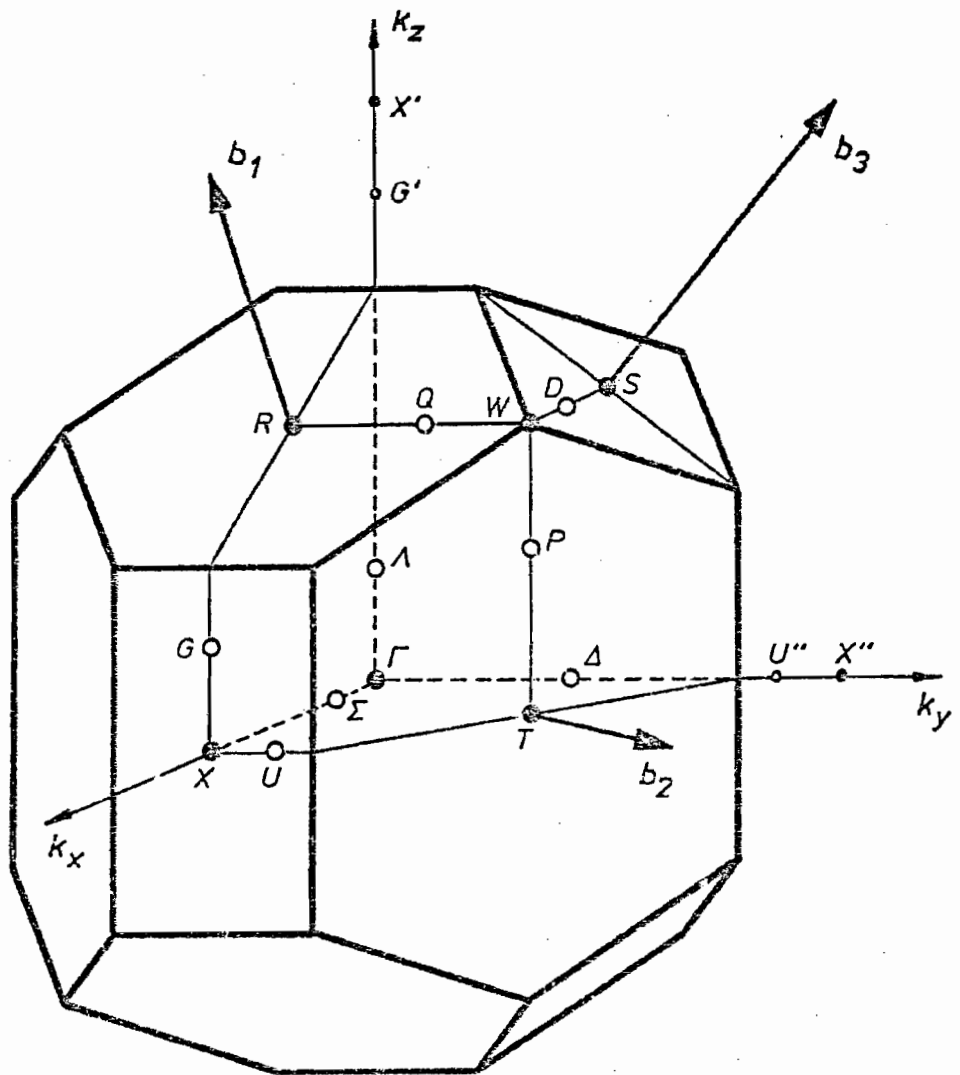


Fig. B/6 Erste Brillouin-Zone des innenzentrierten orthorhombischen Gitters für $a > b > c$ mit den Symmetriepunkten und Symmetrielinien

$\vec{k} = u \cdot \vec{b}_1 + v \cdot \vec{b}_2 + w \cdot \vec{b}_3 : (u, v, w)$	$P(\vec{k})$	
$\Gamma : (0, 0, 0)$	mmm	
$X : (1/2, 1/2, -1/2)$	mmm	
$R : (1/2, 0, 0)$	2/m	
$S : (0, 0, 1/2)$	2/m	
$T : (0, 1/2, 0)$	2/m	
$W : (1/4, 1/4, 1/4)$	222	
$\Lambda : (w, -w, w)$	$0 < w \leq \xi$	mm2
$G : (1/2+w, 1/2-w, -1/2+w)$	$0 < w \leq 1/2-\xi$	mm2
$\Sigma : (u, u, -u)$	$0 < u < 1/2$	mm2
$\Delta : (-v, v, v)$	$0 < v \leq \zeta$	mm2
$U : (1/2-v, 1/2+v, -1/2+v)$	$0 < v \leq 1/2-\zeta$	mm2
$P : (w, 1/2-w, w)$	$0 < w < 1/4$	2
$D : (u, u, 1/2-u)$	$0 < u < 1/4$	2
$Q : (1/2-v, v, v)$	$0 < v < 1/4$	2

wobei $\xi = (a^2 + c^2)/(4a^2)$, $\zeta = (a^2 + b^2)/(4a^2)$

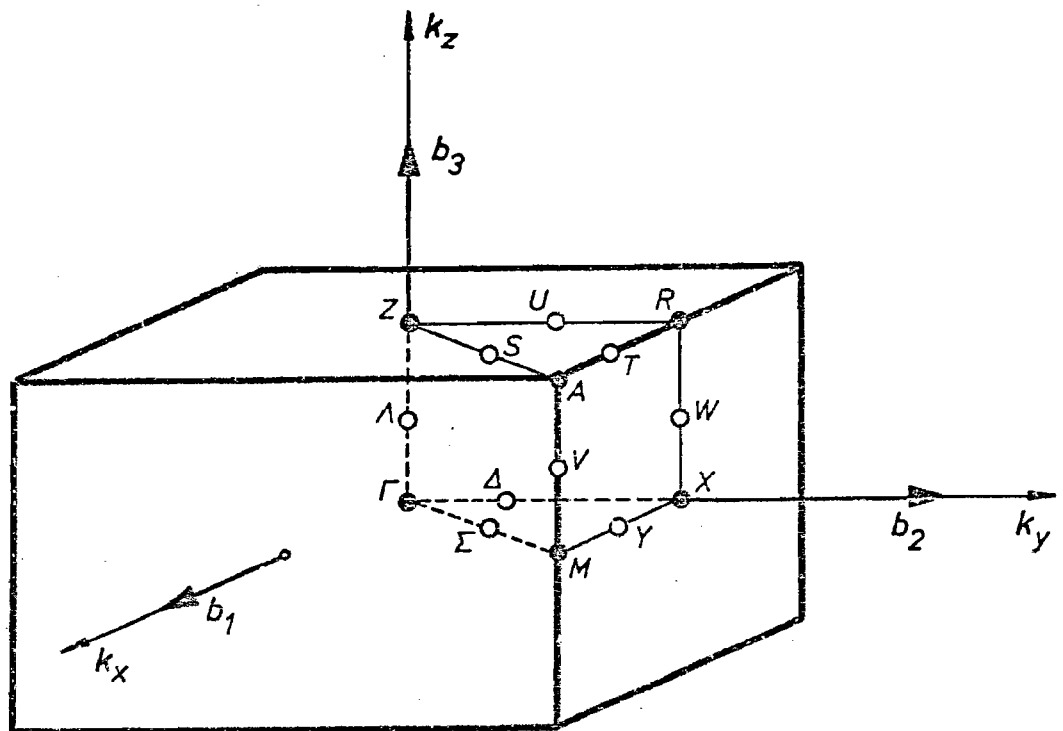


Fig. B/7 Erste Brillouin-Zone des einfach tetragonalen Gitters mit den Symmetriepunkten und Symmetrielinien

$\vec{k} = u \cdot \vec{b}_1 + v \cdot \vec{b}_2 + w \cdot \vec{b}_3 : (u, v, w)$	$P(\vec{k})$
$\Gamma : (0, 0, 0)$	4/mmm
$M : (1/2, 1/2, 0)$	4/mmm
$Z : (0, 0, 1/2)$	4/mmm
$A : (1/2, 1/2, 1/2)$	4/mmm
$X : (0, 1/2, 0)$	mmm
$R : (0, 1/2, 1/2)$	mmm
$\Lambda : (0, 0, w) \quad 0 < w < 1/2$	4mm
$V : (1/2, 1/2, w) \quad 0 < w < 1/2$	4mm
$W : (0, 1/2, w) \quad 0 < w < 1/2$	mm2
$\Delta : (0, v, 0) \quad 0 < v < 1/2$	mm2
$U : (0, v, 1/2) \quad 0 < v < 1/2$	mm2
$\Sigma : (u, u, 0) \quad 0 < u < 1/2$	mm2
$S : (u, u, 1/2) \quad 0 < u < 1/2$	mm2
$Y : (u, 1/2, 0) \quad 0 < u < 1/2$	mm2
$T : (u, 1/2, 1/2) \quad 0 < u < 1/2$	mm2

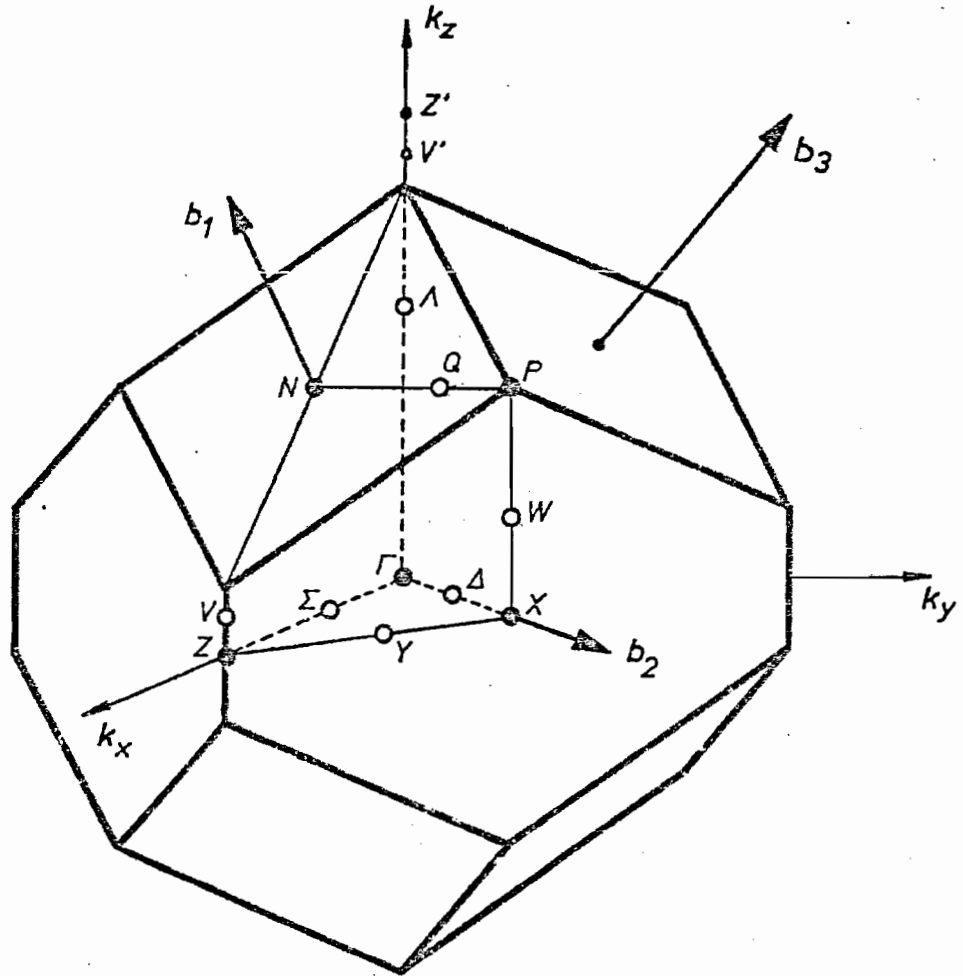


Fig. B/8a Erste Brillouin-Zone des innenzentrierten tetragonalen Gitters für $a > c$ mit den Symmetriepunkten und Symmetrielinien

$\vec{k} = u \cdot \vec{b}_1 + v \cdot \vec{b}_2 + w \cdot \vec{b}_3 : (u, v, w)$	$P(\vec{k})$
$\Gamma : (0, 0, 0)$	4/mmm
$Z : (1/2, 1/2, -1/2) \quad Z' : (1/2, -1/2, 1/2)$	4/mmm
$P : (1/4, 1/4, 1/4)$	42m
$X : (0, 1/2, 0)$	mmm
$N : (1/2, 0, 0)$	2/m
$\Lambda : (w, -w, w) \quad 0 < w \leq \xi$	4mm
$V : (1/2+w, 1/2-w, -1/2+w) \quad 0 < w \leq 1/2-\xi$	4mm
$W : (w, 1/2-w, w) \quad 0 < w < 1/4$	mm2
$\Delta : (0, v, 0) \quad 0 < v < 1/2$	mm2
$\Sigma : (u, u, -u) \quad 0 < u < 1/2$	mm2
$Y : (u, 1/2, -u) \quad 0 < u < 1/2$	mm2
$Q : (1/2-u, u, u) \quad 0 < u < 1/4$	2

wobei $\xi = (a^2 + c^2)/(4a^2)$

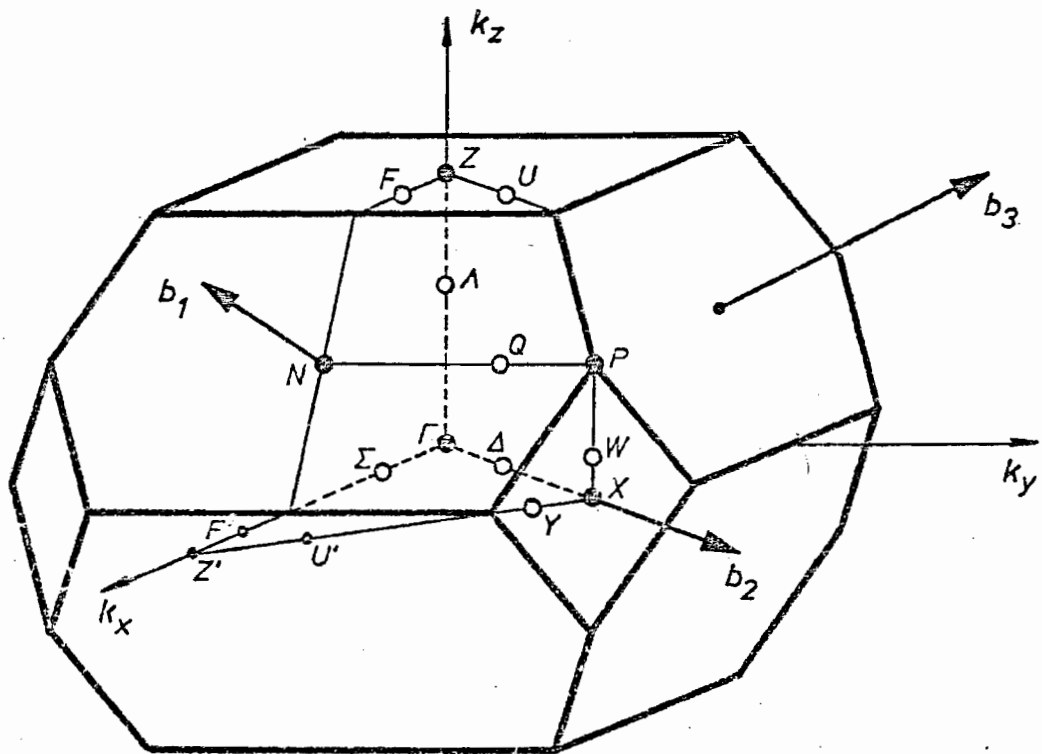


Fig. B/8b Erste Brillouin-Zone des innenzentrierten tetragonalen Gitters für $a < c$ mit den Symmetriepunkten und Symmetrielinien

$\vec{k} = u \cdot \vec{b}_1 + v \cdot \vec{b}_2 + w \cdot \vec{b}_3 : (u, v, w)$	$P(\vec{k})$
$\Gamma : (0, 0, 0)$	4/mmm
$Z : (1/2, -1/2, 1/2) \quad Z' : (1/2, 1/2, -1/2)$	4/mmm
$P : (1/4, 1/4, 1/4)$	$\bar{4}2m$
$X : (0, 1/2, 0)$	mmm
$N : (1/2, 0, 0)$	2/m
$\Lambda : (w, -w, w) \quad 0 < w < 1/2$	4mm
$W : (w, 1/2-w, w) \quad 0 < w < 1/4$	mm2
$\Delta : (0, v, 0) \quad 0 < v < 1/2$	mm2
$U : (1/2, -1/2+v, 1/2) \quad 0 < v \leq 1/2-\eta$	mm2
$\Sigma : (u, u, -u) \quad 0 < u \leq \zeta$	mm2
$F : (1/2+u, -1/2+u, 1/2-u) \quad 0 < u \leq 1/2-\zeta$	mm2
$Y : (u, 1/2, -u) \quad 0 < u \leq \eta$	mm2
$Q : (1/2-u, u, u) \quad 0 < u < 1/4$	2

wobei $\zeta = (a^2 + c^2)/(4c^2)$, $\eta = a^2/(4c^2)$

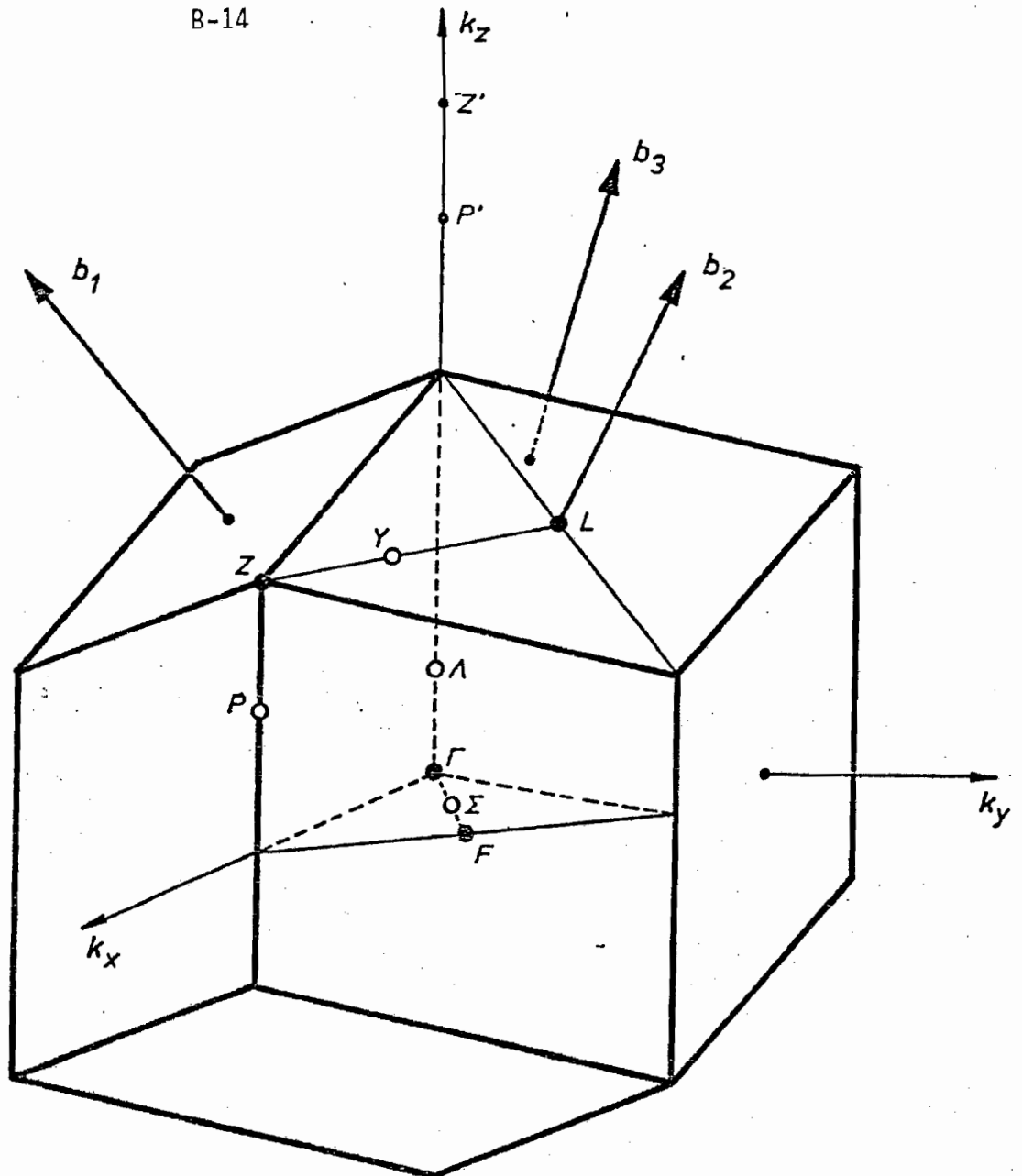


Fig. B/9a Erste Brillouin-Zone des einfach trigonalen Gitters für $3a^2 > 2c^2$ mit den Symmetriepunkten und Symmetrielinien

$\vec{k} = u \cdot \vec{b}_1 + v \cdot \vec{b}_2 + w \cdot \vec{b}_3 : (u, v, w)$	$P(\vec{k})$
$\Gamma : (0, 0, 0)$	$\bar{3}m$
$Z : (1/2, 1/2, -1/2)$ $Z' : (1/2, 1/2, 1/2)$	$\bar{3}m$
$L : (0, 1/2, 0)$	$2/m$
$F : (0, 1/2, -1/2)$	$2/m$
$\Lambda : (w, w, w)$ $0 < w \leq \xi$	$3m$
$P : (1/2-w, 1/2-w, -1/2-w)$ $0 < w \leq 1/2-\xi$	$3m$
$\Sigma : (0, v, -v)$ $0 < v < 1/2$	2
$Y : (u, 1/2, -u)$ $0 < u < 1/2$	2

wobei $\xi = (3a^2 + 4c^2)/(18a^2)$

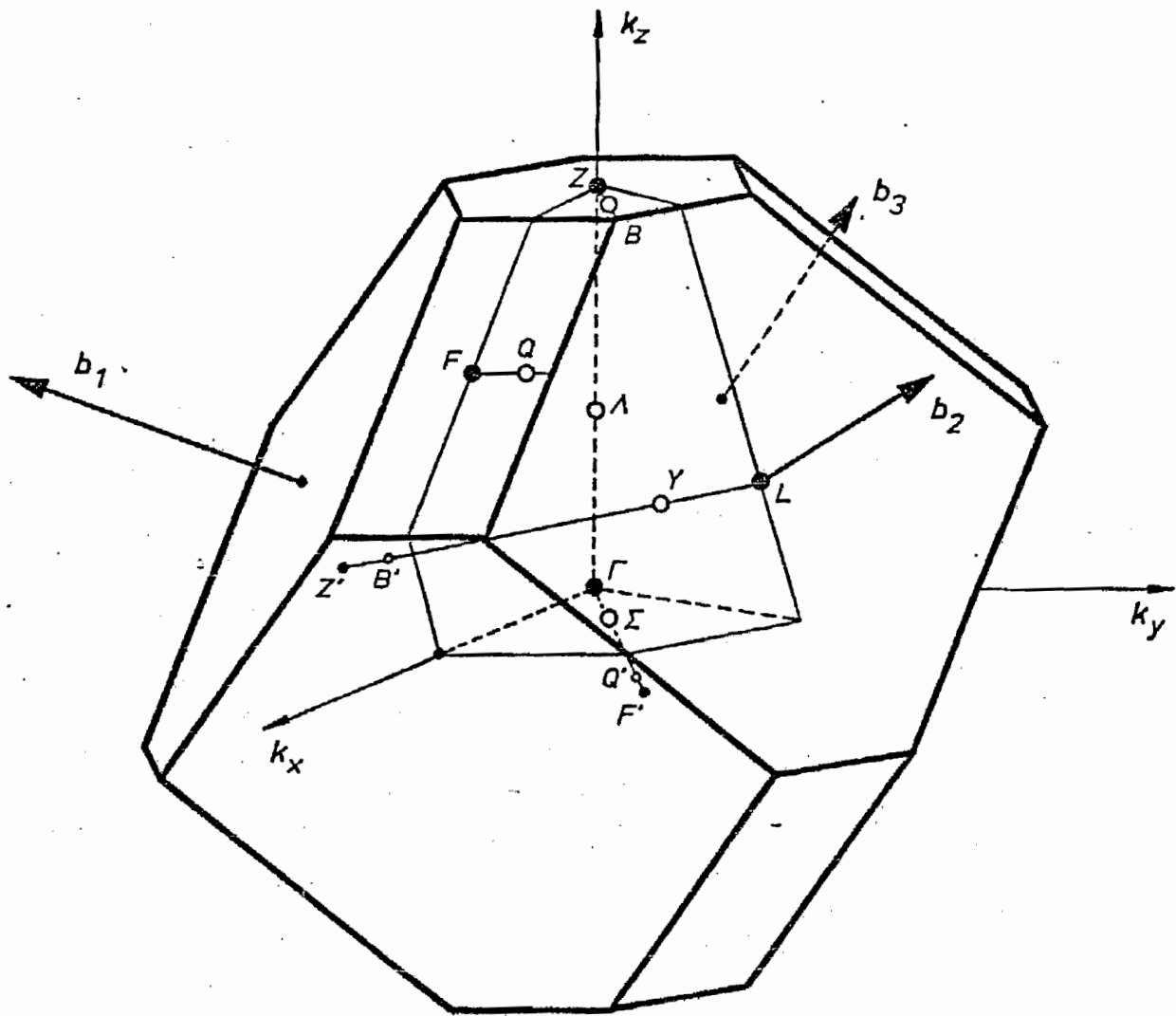


Fig. B/9b Erste Brillouin-Zone des einfach trigonalen Gitters für $3a^2 < 2c^2$ mit den Symmetriepunkten und Symmetrielinien

$\vec{k} = u \cdot \vec{b}_1 + v \cdot \vec{b}_2 + w \cdot \vec{b}_3 : (u, v, w)$	$P(\vec{k})$
$\Gamma : (0, 0, 0)$	$\bar{3}m$
$Z : (1/2, 1/2, 1/2) \quad Z' : (1/2, 1/2, -1/2)$	$\bar{3}m$
$L : (0, 1/2, 0)$	$2/m$
$F : (1/2, 1/2, 0) \quad F' : (0, 1/2, -1/2)$	$2/m$
$\Lambda : (w, w, w) \quad 0 < w < 1/2$	$3m$
$\Sigma : (0, v, -v) \quad 0 < v \leq \zeta$	2
$Q : (1/2 - v, 1/2 + v, 0) \quad 0 < v \leq 1/2 - \zeta$	2
$Y : (u, 1/2, -u) \quad 0 < u \leq \eta$	2
$B : (1/2, 1/2 + u, 1/2 - u) \quad 0 < u \leq 1/2 - \eta$	2

wobei $\zeta = (3a^2 + 4c^2)/(12c^2)$, $\eta = (3a^2 + c^2)/(6c^2)$

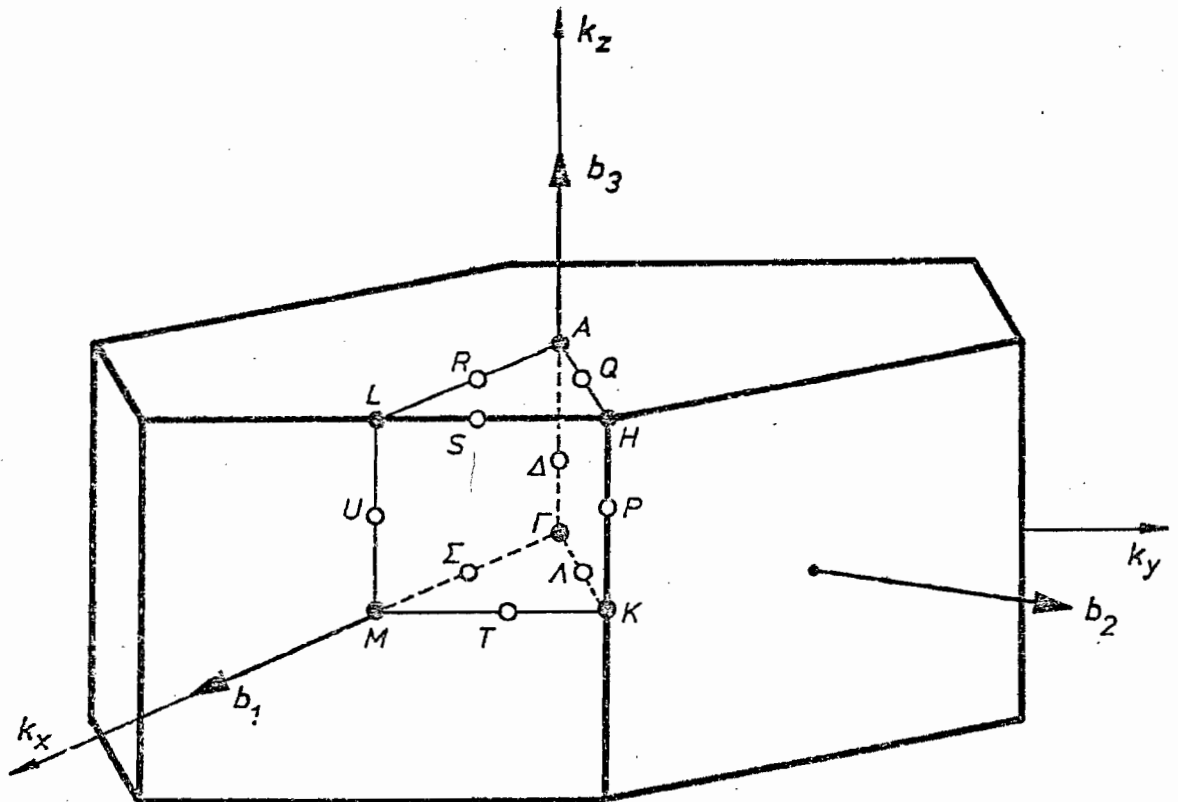


Fig. B/10 Erste Brillouin-Zone des einfach hexagonalen Gitters mit den Symmetriepunkten und Symmetrielinien

$\vec{k} = u \cdot \vec{b}_1 + v \cdot \vec{b}_2 + w \cdot \vec{b}_3 : (u, v, w)$	$P(\vec{k})$	
$\Gamma : (0,0,0)$	6/mmm	
$A : (0,0,1/2)$	6/mmm	
$K : (1/3, 1/3, 0)$	$\bar{6}2m$	
$H : (1/3, 1/3, 1/2)$	$\bar{6}2m$	
$M : (1/2, 0, 0)$	mmm	
$L : (1/2, 0, 1/2)$	mmm	
$\Delta : (0,0,w)$	$0 < w < 1/2$	6mm
$P : (1/3, 1/3, w)$	$0 < w < 1/2$	3m
$U : (1/2, 0, w)$	$0 < w < 1/2$	mm2
$\Lambda : (v, v, 0)$	$0 < v < 1/3$	mm2
$Q : (v, v, 1/2)$	$0 < v < 1/3$	mm2
$\Sigma : (u, 0, 0)$	$0 < u < 1/2$	mm2
$R : (u, 0, 1/2)$	$0 < u < 1/2$	mm2
$T : (1/2 - v/2, v, 0)$	$0 < v < 1/3$	mm2
$S : (1/2 - v/2, v, 1/2)$	$0 < v < 1/3$	mm2

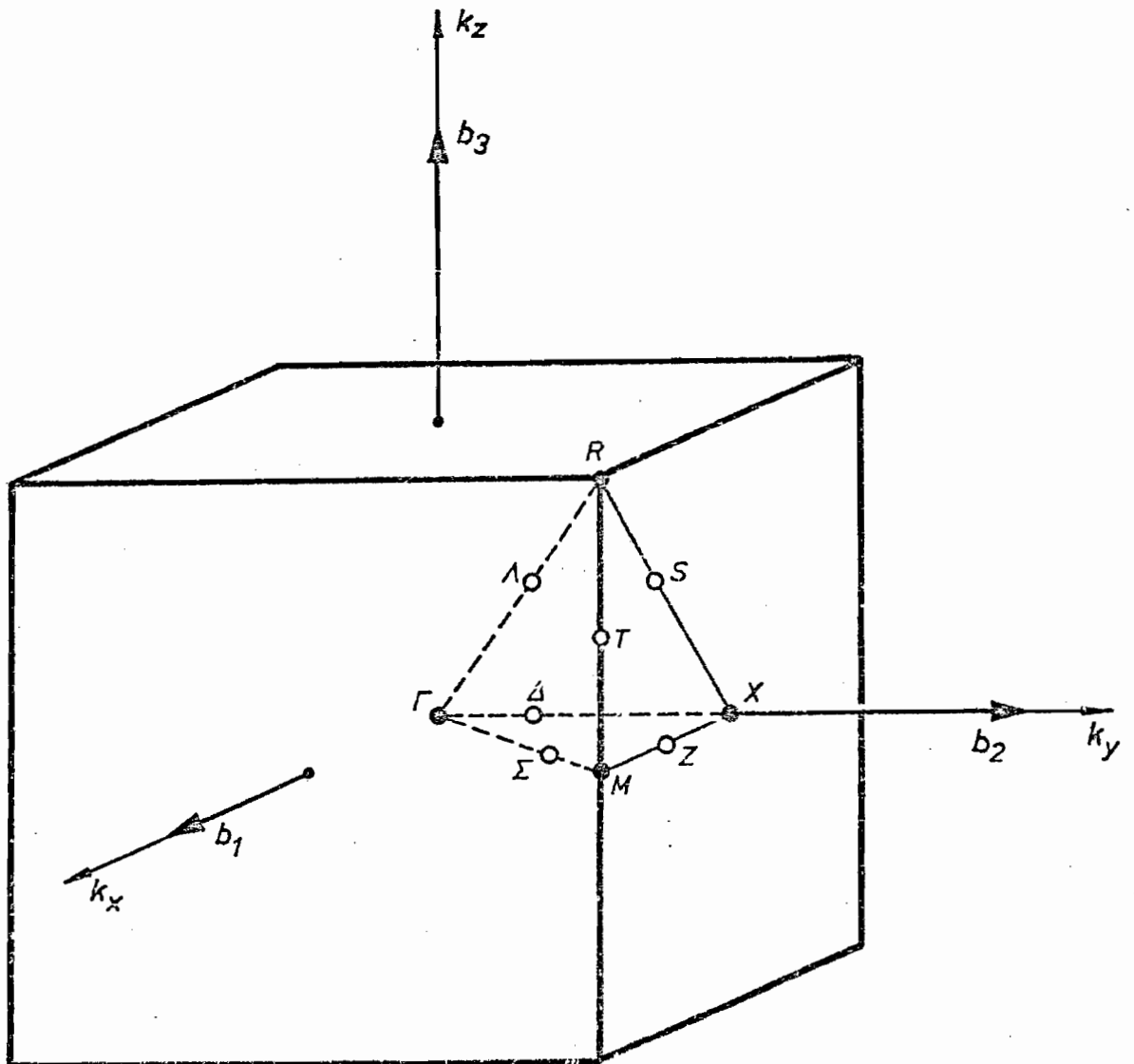


Fig. B/11 Erste Brillouin-Zone des einfach kubischen Gitters mit den Symmetriepunkten und Symmetrielinien

$\vec{k} = u \cdot \vec{b}_1 + v \cdot \vec{b}_2 + w \cdot \vec{b}_3 : (u, v, w)$	$P(\vec{k})$
$\Gamma : (0, 0, 0)$	$m\bar{3}m$
$R : (1/2, 1/2, 1/2)$	$m\bar{3}m$
$X : (0, 1/2, 0)$	$4/m\bar{m}m$
$M : (1/2, 1/2, 0)$	$4/m\bar{m}m$
$\Delta : (0, v, 0)$	$4mm$
$T : (1/2, 1/2, w)$	$4mm$
$\Lambda : (w, w, w)$	$3m$
$\Sigma : (u, u, 0)$	$mm2$
$S : (u, 1/2, u)$	$mm2$
$Z : (u, 1/2, 0)$	$mm2$
	$0 < v < 1/2$
	$0 < w < 1/2$
	$0 < w < 1/2$
	$0 < u < 1/2$
	$0 < u < 1/2$
	$0 < u < 1/2$

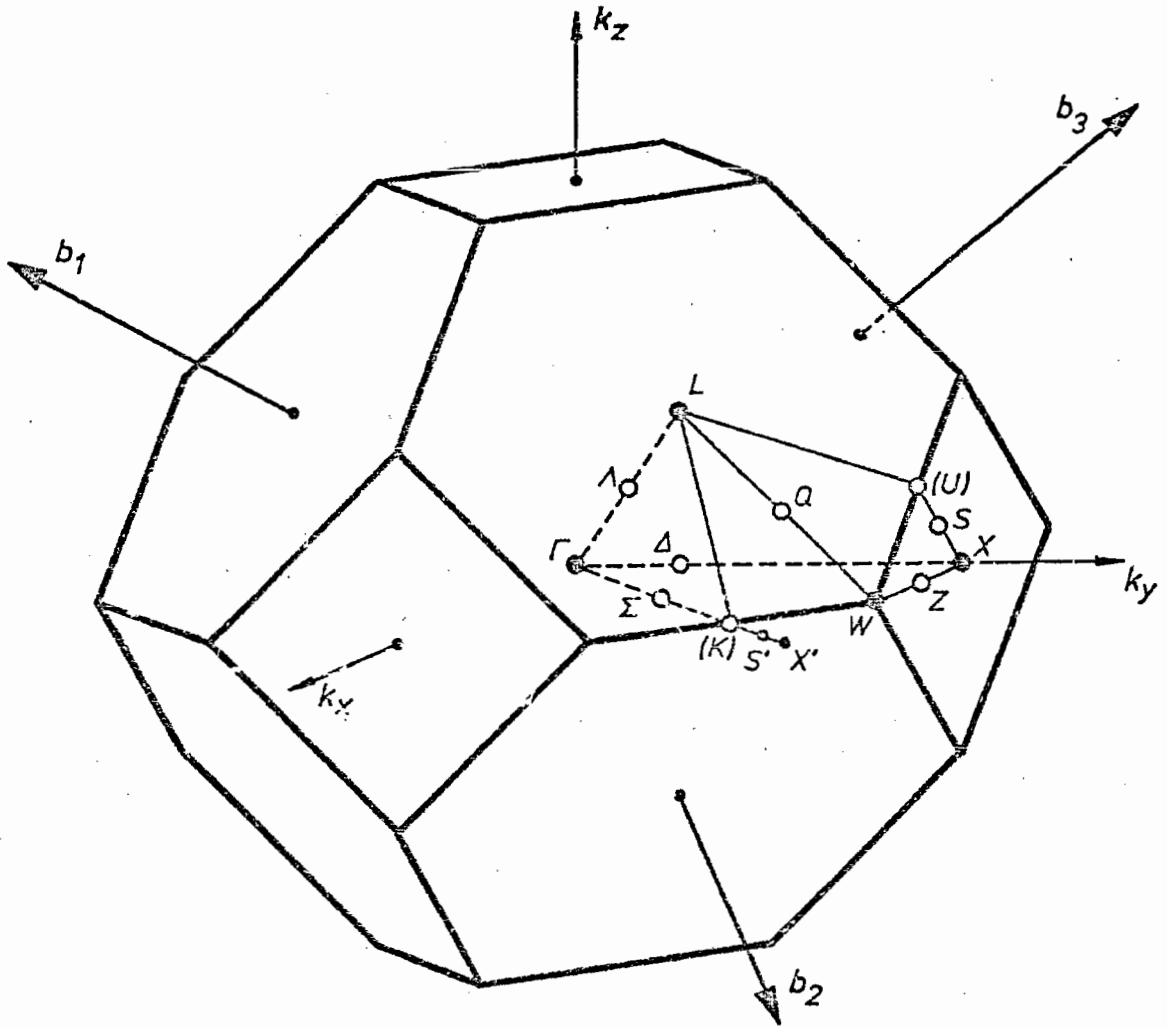


Fig. B/12 Erste Brillouin-Zone des flächenzentrierten kubischen Gitters mit den Symmetriepunkten und Symmetrielinien

$\vec{k} = u \cdot \vec{b}_1 + v \cdot \vec{b}_2 + w \cdot \vec{b}_3 : (u, v, w)$	$P(\vec{k})$
$\Gamma : (0, 0, 0)$	$m\bar{3}m$
$X : (0, 1/2, 1/2)$ $X' : (1/2, 1, 1/2)$	$4/m\bar{m}m$
$L : (1/2, 1/2, 1/2)$	$\bar{3}m$
$W : (1/4, 3/4, 1/2)$	$\bar{4}2m$
$U : (1/4, 5/8, 5/8)$	$mm2$
$K : (3/8, 3/4, 3/8)$	$mm2$
$\Delta : (0, v, v)$ $0 < v < 1/2$	$4mm$
$\Lambda : (w, w, w)$ $0 < w < 1/2$	$3m$
$\Sigma : (u, 2u, u)$ $0 < u \leq 3/8$	$mm2$
$S : (2u, 1/2+u, 1/2+u)$ $0 < u \leq 1/8$	$mm2$
$Z : (u, 1/2+u, 1/2)$ $0 < u < 1/4$	$mm2$
$Q : (1/2-u, 1/2+u, 1/2)$ $0 < u < 1/4$	2

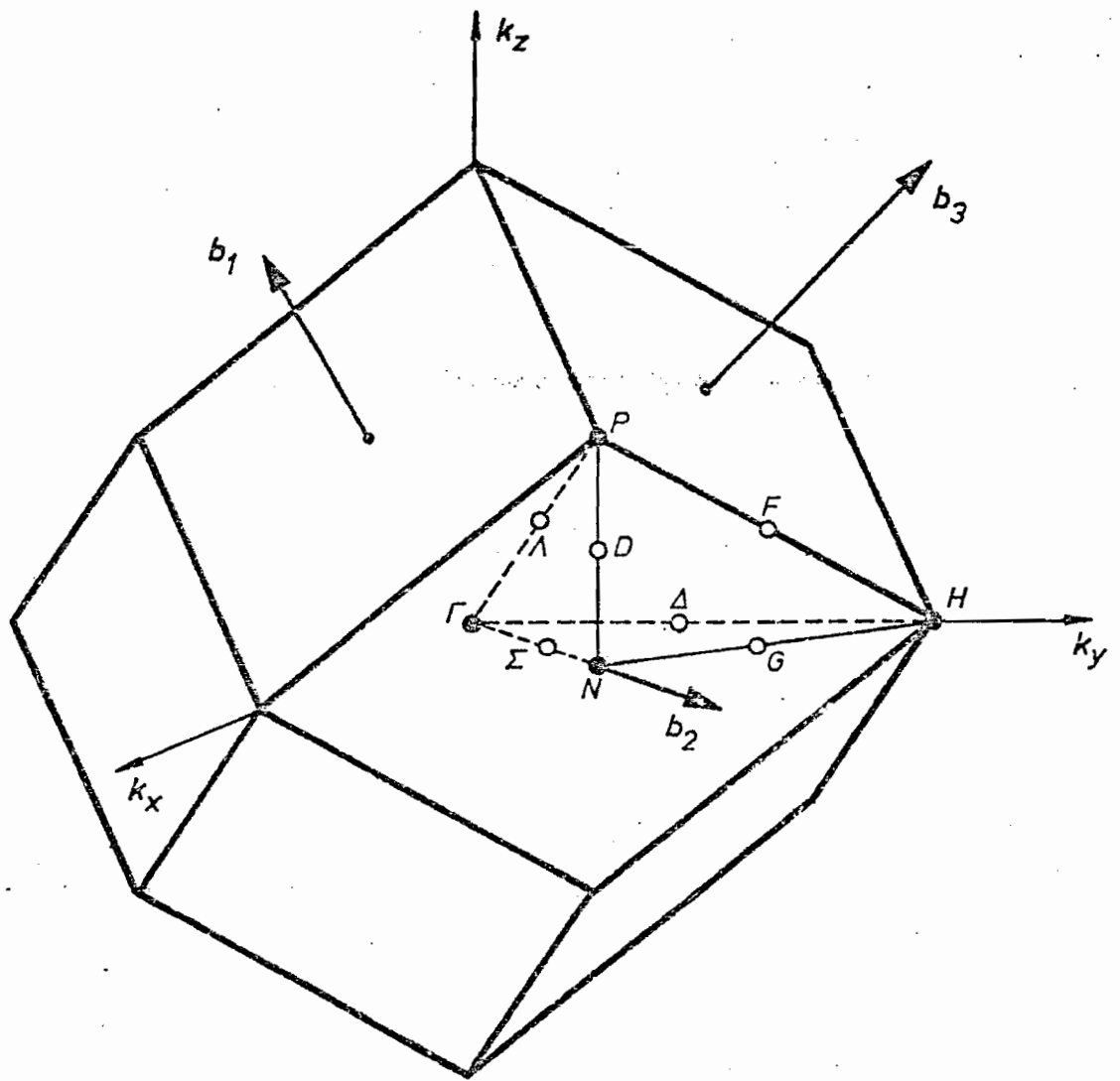


Fig. B/13 Erste Brillouin-Zone des innenzentrierten kubischen Gitters mit den Symmetriepunkten und Symmetrielinien

$\vec{k} = u \cdot \vec{b}_1 + v \cdot \vec{b}_2 + w \cdot \vec{b}_3 : (u, v, w)$	$P(\vec{k})$
$\Gamma : (0, 0, 0)$	$m\bar{3}m$
$H : (-1/2, 1/2, 1/2)$	$m\bar{3}m$
$P : (1/4, 1/4, 1/4)$	$\bar{4}3m$
$N : (0, 1/2, 0)$	mmm
$\Delta : (0, v, v) \quad 0 < v < 1/2$	$4mm$
$\Lambda : (w, w, w) \quad 0 < w < 1/4$	$3m$
$F : (-1/2+3w, 1/2-w, 1/2-w) \quad 0 < w < 1/4$	$3m$
$\Sigma : (0, v, 0) \quad 0 < v < 1/2$	$mm2$
$D : (u, 1/2-u, u) \quad 0 < u < 1/4$	$mm2$
$G : (-u, 1/2, u) \quad 0 < u < 1/2$	$mm2$